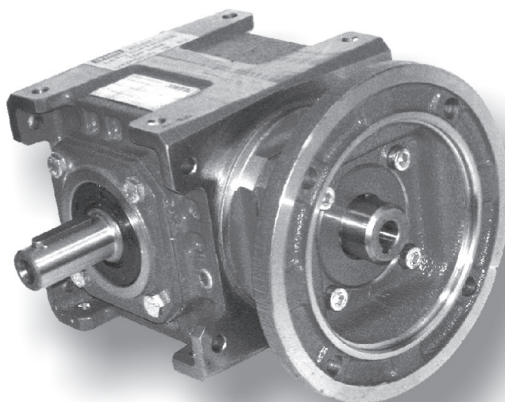


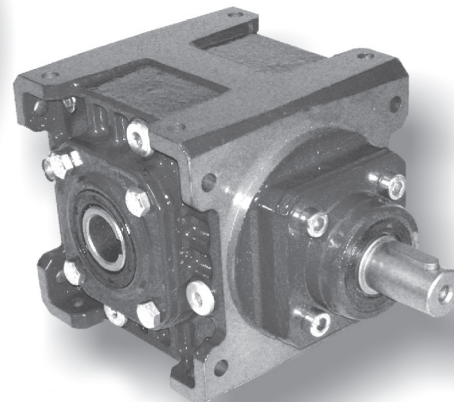
7.0

REENVÍOS ANGULARES L RIGHT ANGLE GEARBOX L RENVOIS D'ANGLE L

7.1	Características	<i>Characteristics</i>	Caractéristiques	112
7.2	Nomenclatura	<i>Designation</i>	Désignation	113
7.3	Velocidad de entrada	<i>Input speed</i>	Vitesse d'entrée	113
7.4	Rendimiento	<i>Efficiency</i>	Rendement	114
7.5	Juegos angulares	<i>Angular backlash</i>	Jeux angulaires	114
7.6	Potencia térmica	<i>Thermal power</i>	Puissance thermique	114
7.7	Datos técnicos	<i>Technical data</i>	Données techniques	115
7.8	Sentido de rotación de los ejes	<i>Direction of shaft rotation</i>	Sens de rotation des arbres	115
7.9	Momento de inercia	<i>Moments of inertia</i>	Moments d'inertie	116
7.10	Dimensiones	<i>Dimensions</i>	Dimensions	118
7.11	Accesorios	<i>Accessories</i>	Accessoires	120
7.12	Lubricación	<i>Lubrication</i>	Lubrification	120
7.13	Cargas radiales y axiales (N)	<i>Radial and axial loads (N)</i>	Charges radiales et axiales (N)	121
7.14	Lista de recambios	<i>Spare parts list</i>	Liste des pièces détachées	122

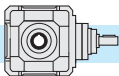


LC..



LA..

05/2022



7.1 Características

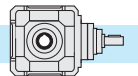
- Construidos en 5 tamaños con tres tipos de eje de salida: hueco, eje simple y eje doble. También es posible instalar un segundo eje de salida opuesto al de entrada.
- Están previstos para tres tipos distintos de entrada: con eje de entrada, con predisposición para acoplar motor (campana y acoplamiento) y predisposición COMPACTA para acoplar motor.
- Las carcchas de los reductores son de fundición maleable EN GJL 200 UNI EN 1561, nervada interior y exteriormente con el objetivo de garantizar la rigidez, mecanizados en todas las caras a fin de facilitar el posicionamiento y montaje. La única cámara de lubricación garantiza una mayor disipación térmica y mejor lubricación de todos los componentes.
- Los reenvíos son un tren de engranajes cónicos de dentados espiroidal GLEASON cuidadosamente rectificado en acero 16CrNi4 o 18NiCrMo5.
- La utilización de rodamientos de calidad en todos los ejes permiten al reductor obtener una mayor duración y resistir elevadas cargas externas radiales y axiales.
- La carcasa del reductor, las bridas, las campanas y la cobertura están barnizadas externamente de color AZUL RAL 5010.

7.1 Characteristics

- *Built in 5 sizes with three types of output shaft: hollow, projecting or double-extended. Moreover, an additional output shaft can be installed opposite to the input shaft.*
- *Three input types are available : with projecting input shaft, with pre-engineered motor coupling (bell and joint) and pre-engineered COMPACT motor coupling.*
- *Gear unit body in engineering cast iron, EN GJL 200 UNI EN 1561 ribbed internally and externally to guarantee rigidity and machined on all surfaces for easy positioning. The single lubrication chamber guarantees improved heat dissipation and better lubrication of all the internal components.*
- *The mechanism of these gearboxes consists of two GLEASON spiral bevel gears with precision lapped profile, 16CrNi4 or 18NiCrMo5 made of steel.*
- *The use of high quality bearings on all the axis ensures long life to the gearbox and allows very high radial and axial loads.*
- *Gearbox housing, flanges, bells and covers are externally painted with BLUE RAL 5010.*

7.1 Caractéristiques

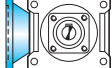
- Fabriqués en 5 tailles avec 3 types d'arbres de sortie : arbre creux, arbre mâle sur un coté et arbre mâle sur deux cotés. Il est possible de disposer également d'un autre arbre de sortie du coté opposé à l'entrée.
- Trois types d'entrées sont prévus : avec arbre mâle, prédisposition pour accouplement moteur (cloche et joint de raccordement) et prédisposition pour accouplement moteur COMPACTE.
- Le corps du réducteur en fonte mécanique EN GJL 200 UNI EN 1561, équipé de nombreuses nervures à l'intérieur aussi bien qu'à l'extérieur pour en assurer la rigidité, est usiné sur toutes les faces pour permettre un positionnement plus aisés ; une seule chambre de graissage assure également une dissipation thermique supérieure ainsi qu'une meilleure lubrification de tous les organes internes.
- Le mécanisme cinématique de ces renvois se compose d'un train d'engrenages coniques à denture hélicoïdale GLEASON, avec rodage de précision du profil, en acier 16 CrNi4 ou 18NiCrMo5.
- L'utilisation de roulements de qualité sur tous les axes assure au réducteur une longévité supérieure, même en supportant des charges radiales et axiales extérieures très élevées.
- Le corps du réducteur, les brides, les cloches et les capots sont peints en BLEU RAL 5010.

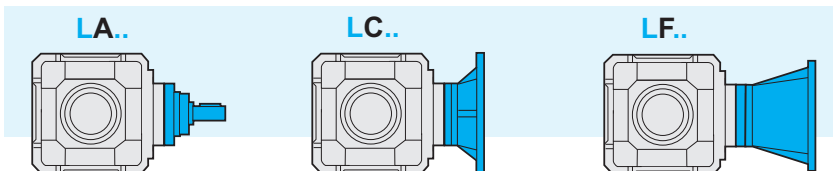


7.2 Nomenclatura

7.2 Designation

7.2 Désignation

Maquina Machine Machine	Tipo de entrada Input type Type d'entrée	Tamaño Size Taille	Rotación Gearing Trains de réduction	Tipo de salida Output type Type de sortie	Relación de red. Ratio Rapport de réduction	Predisposición Motor coupling Predisposition accouplement moteur	Entrada suplementaria Additional input Entree supplémentaire	Rotación de los ejes Shafts rotation Rotation des arbres	Posición de montaje Mounting position Position de montage	Brida de salida Output flange Bride de sortie
L	A	28	A	C	2	P.A.M.	S.e.A.	B	B3	FLD
Reenvíos angulares Right angle gearboxes Renvois d'angle	 A  C  F	19 24 28 38 48	 A	 S  B  C	$i_n =$ 1 2 3	63 ÷ 200	 A  C  F	 A B C D F	 B3 B6 B7 B8 VA VB	 FLS  FLD  FL2



7.3 Velocidad de entrada

Todas las prestaciones de los reductores son calculadas en base a una velocidad de entrada de 1400 min^{-1} .

Todos los reductores admiten velocidades hasta 1400 min^{-1} . En el caso de que dicho límite deba ser superado contactar con el servicio técnico.

En la tabla siguiente, se encuentran los coeficientes correctivos de la potencia en entrada P a las varias velocidades referidas a $FS = 1$.

7.3 Input speed

All calculations of gear unit performance specifications are based on an input speed of 1400 min^{-1} .

1400 min^{-1} is the max. allowed input speed. For higher speed pls contact the technical service.

The table below shows the input power P corrective coefficients at the various speeds, with $FS = 1$.

7.3 Vitesse d'entrée

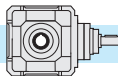
Toutes les performances des réducteurs sont calculées sur la base d'une vitesse d'entrée de 1400 min^{-1} .

La vitesse max. acceptable à l'entrée est de 1400 min^{-1} . Pour des vitesses supérieures contacter le service technique.

Dans le tableau ci-dessous figurent les coefficients de correction de la puissance en entrée P aux différentes vitesses, se référant à $FS = 1$.

Tab. 1

$n_1 [\text{min}^{-1}]$	1400	900	700	500
Pc (kW)	$P \times 1$	$P \times 0.7$	$P \times 0.56$	$P \times 0.42$



7.4 Rendimiento

El valor del rendimiento de los reductores puede ser estimado con suficiente aproximación en base al número de reducciones (**R=0.97**), omitiendo las variaciones no significativas atribuibles a las diversas relaciones.

7.4 Efficiency

The efficiency value of the gearbox can be estimated (**R=0.97**) ignoring non-significant variations which can be attributed to the various ratios.

7.4 Rendement

La valeur du rendement des réducteurs peut être calculée avec une approximation suffisante, (**R=0.97**) négligeant l'impact des différents rapports.

7.5 Juegos angulares

Bloqueando el eje de entrada, el juego se mide sobre el eje de salida girándolo en las dos direcciones, aplicando el par estrictamente necesario a fin de crear el contacto entre los dientes de los engranajes, hasta un máximo equivalente al 2% del par máximo garantizado por el reductor.

En la siguiente tabla se describen los valores indicativos al juego angular (en minuto de ángulo) referido al montaje normal y a los valores obtenidos con un registro mas preciso. Esta última ejecución se debe efectuar solo en caso de una real necesidad, dado que podría comportar un ligero aumento del ruido haciendo menos eficaz el accionar del aceite lubricante.

7.5 Angular backlash

After having blocked the input shaft, the angular backlash can be measured on the output shaft by rotating it in both directions and applying the torque which is strictly necessary to create a contact between the teeth of the gears. The applied torque should be at most 2% of the max. torque guaranteed by the gearbox.

The following table reports the approximate value of the angular backlash (in minutes of arc) referred to standard mounting and the values to be obtained by a more precise adjustment. The latter solution should be adopted only in case of necessity because it may raise the noise level and lessen the action of the lubricant.

7.5 Jeux angulaires

Si l'on bloque l'arbre d'entrée, on peut mesurer le jeu sur l'arbre de sortie tout en tournant l'arbre dans les deux directions et avec le couple strictement nécessaire à créer un contact avec les dents des engrenages, équivalent à 2% du couple max. admissible par le réducteur.

Dans le tableau suivant sont indiquées les valeurs du jeu angulaire (1') pour ce montage standard et les valeurs possibles avec un réglage beaucoup plus soigné. Cette dernière solution doit être utilisée seulement en cas de nécessité réelle puisqu'elle peut engendrer une faible augmentation du niveau de bruit et réduire l'efficacité de la lubrification.

Juego Angular / Backlash / Jeux angulaires (1')	
Montaje normal Standard mounting Montage standard	Montaje con juego reducido Mounting with reduced backlash Montage avec jeu réduit
12/20	8

7.6 Potencia térmica

En la siguiente tabla se encuentran los valores de la potencia térmica P_{t0} (kW), relativa de los diferentes tamaños de reenvíos angulares.

7.6 Thermal power

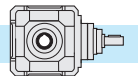
The following table shows the values of thermal power P_{t0} (kW) for each gearbox size.

7.6 Puissance thermique

Les valeurs des puissances thermiques P_{t0} (kW) concernant toutes les tailles des renvois d'angle sont indiquées au tableau suivant.

Tab. 2

n_1 [min ⁻¹]	P_{t0} [kW] - Potencia térmica / Thermal power / Puissance thermique				
	L19	L24	L28	L38	L48
1400	4.5	6.7	10.3	15.3	22.4



7.7 Datos técnicos

7.7 Technical data

7.7 Données techniques

L	n ₁ = 1400			LC - LF			LA	
	i _n	i _r	n ₂ rpm	T ₂ Nm	P ₁ kW	FS'	T _{2M} Nm	P kW
19	1	1	1400	12	1.8	3	35	5.5
	2	2	700	24	1.8	1.7	40	3
	3	3	467	36	1.8	1.2	43	2.2
24	1	1	1400	26	4	2.7	73	11
	2	2	700	53	4	1.4	72	5.5
	3	3	467	78	4	1	78	4
28	1	1	1400	61	9.2	2.4	146	22
	2	2	700	122	9.2	1.2	145	11
	3	3	467	182	9.2	1	182	9.2

L	n ₁ = 1400			LC - LF			LA	
	i _n	i _r	n ₂ rpm	T ₂ Nm	P ₁ kW	FS'	T _{2M} Nm	P kW
38	1	1	1400	146	22	2	298	45
	2	2	700	291	22	1	291	22
	3	3	467	297	15	1	297	15
48	1	1	1400	199	30	3	596	90
	2	2	700	397	30	1.5	583	45
	3	3	467	597	30	1	597	30

Verificación térmica necesaria / Thermal rating needed / Contrôle thermique nécessaire

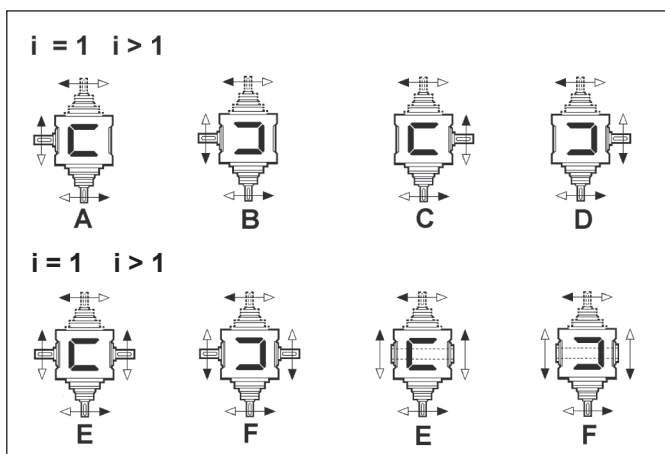
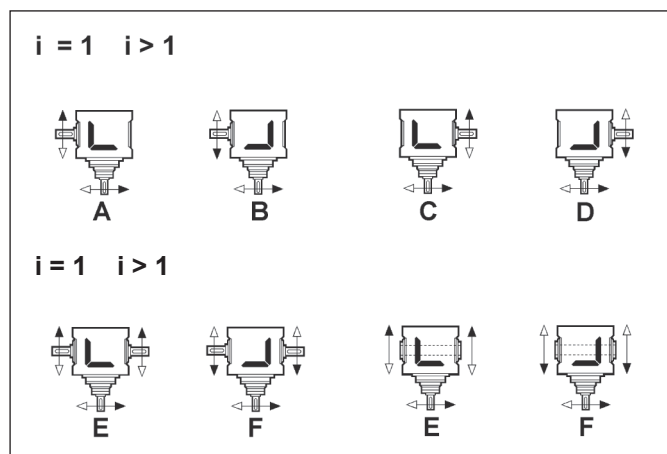
L	i	IEC									
		63	71	80	90	100	112	132	160	180	200
19	1 - 2 - 3	LC - LF									
24	1 - 2 - 3		LC - LF								
28	1 - 2 - 3			LC - LF							
38	1 - 2 - 3				LC - LF						
48	1 - 2 - 3					LC - LF					

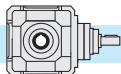
7.8 Sentido de rotación de los ejes

7.8 Shaft Rotation Direction

7.8 Sens de rotation des arbres

s.e. =
Entrada suplementaria / Additional input / Entrée supplémentaire





7.9 **Momento de inercia [Kg·cm²]**
(del eje rápido de entrada)

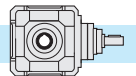
7.9 **Moments of inertia [Kg·cm²]**
(referred to input shaft)

7.9 **Moments d'inertie [Kg·cm²]**
(se rapportant à l'arbre d'entrée)

	i _n	LA	LC				LF			
			IEC B5				IEC B5			
19	S	1	4.10	4.15	4.28	4.65	4.68	4.80	4.86	4.99
		2	1.07	1.12	1.26	1.63	1.66	1.33	1.34	2.00
		3	0.58	0.65	0.78	1.15	1.18	0.83	0.85	1.51
	B	1	4.15	4.19	4.33	4.70	4.73	4.85	4.91	5.04
		2	1.09	1.14	1.28	1.65	1.68	1.35	1.36	2.02
		3	0.59	0.66	0.79	1.16	1.19	0.84	0.86	1.52
	C	1	3.89	3.93	4.07	4.44	4.47	4.59	4.65	4.78
		2	1.03	1.08	1.22	1.58	1.62	1.28	1.30	1.95
		3	0.56	0.63	0.76	1.13	1.16	0.82	0.83	1.49
										2.48

	i _n	LA	LC				LF			
			IEC B5				IEC B5			
24	S	1	10.95	11.27	11.43	11.80	12.62	12.69	13.02	12.95
		2	2.75	3.16	3.32	3.69	4.51	3.59	3.72	4.81
		3	1.77	2.16	2.33	2.69	3.51	2.60	2.74	3.83
	B	1	11.07	11.38	11.54	11.91	12.73	12.80	13.13	13.06
		2	2.79	3.20	3.37	3.73	4.55	3.63	3.77	4.86
		3	1.79	2.18	2.35	2.71	3.53	2.62	2.76	3.85
	C	1	10.31	10.62	10.78	11.14	11.97	12.04	12.37	12.30
		2	2.61	3.01	3.18	3.54	4.36	3.44	3.58	4.67
		3	1.7	2.10	2.26	2.63	3.45	2.54	2.67	3.76
										5.90

	i _n	LA	LC				LF			
			IEC B5				IEC B5			
28	S	1	27.38	28.26	28.12	29.01	32.12	31.51	31.46	31.64
		2	8.78	9.62	9.49	10.37	13.48	11.01	10.94	13.15
		3	4.48	5.57	5.43	6.32	9.43	6.71	6.64	8.85
	B	1	27.85	28.73	28.59	29.47	32.59	31.98	31.93	32.11
		2	8.87	9.71	9.58	10.46	13.57	11.10	11.03	13.24
		3	4.52	5.61	5.47	6.35	9.46	6.75	6.68	8.90
	C	1	26.07	26.95	26.82	27.70	30.81	30.20	30.15	30.33
		2	8.42	9.27	9.13	10.01	13.12	10.65	10.58	12.79
		3	4.32	5.41	5.27	6.16	9.27	6.55	6.47	8.69
										21.95



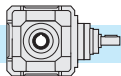
7.9 **Momento de inercia [Kg·cm²]**
(del eje rápido de entrada)

7.9 **Moments of inertia [Kg·cm²]**
(referred to input shaft)

7.9 **Moments d'inertie [Kg·cm²]**
(se rapportant à l'arbre d'entrée)

	i _n	LA	LC					LF				
			90	100-112	132	160	180	90	100-112	132	160	180
			72.43	73.09	73.20	76.34	80.53	83.31	88.11	89.16	90.52	92.70
38	S	1	21.35	22.19	22.29	25.44	29.63	32.41	25.72	25.90	40.02	42.20
	S	2	12.48	14.08	14.18	17.33	21.52	24.3	16.85	17.03	31.16	33.34
	S	3	74.74	75.40	75.50	78.65	82.84	85.62	90.42	91.47	92.83	95.01
	B	1	21.89	22.74	22.84	25.99	30.18	32.95	26.27	26.45	40.57	42.75
	B	2	12.73	14.32	14.42	17.57	21.76	24.54	17.10	17.28	31.40	33.58
	B	3	67.80	68.47	68.57	71.71	75.91	78.68	83.49	84.53	85.59	88.07
	C	1	20.16	21	21.1	24.25	28.44	31.22	24.53	24.71	38.83	41.01
	C	2	11.95	13.55	13.65	16.8	20.99	23.77	16.32	16.50	30.63	32.81
	C	3										

	i _n	LA	LC					LF				
			IEC B5					IEC B5				
			100-112	132	160	180	200	100-112	132	160	180	200
48	S	1	156.56	156.20	161.84	160.75	163.51	173.60	207.50	212.72	220.70	218.70
	S	2	62.54	64.58	70.22	69.13	71.89	81.98	81.21	82.57	84.75	135.14
	S	3	44.14	47.03	52.68	51.58	54.35	64.44	62.81	64.17	66.35	116.74
	B	1	162.50	162.13	167.78	166.68	169.45	179.53	213.44	218.66	226.63	224.64
	B	2	63.94	65.97	71.62	70.52	73.29	83.38	82.61	83.97	86.15	136.54
	B	3	44.76	47.66	53.30	52.20	54.97	65.06	63.43	64.79	66.97	117.34
	C	1	141.58	141.21	146.85	145.78	148.52	158.61	192.52	197.73	205.71	203.71
	C	2	58.70	60.74	66.38	65.29	68.05	78.14	77.37	78.74	80.92	131.30
	C	3	42.43	45.33	50.97	49.88	52.64	62.73	61.11	62.47	64.65	115.03



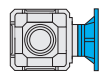
7.10 Dimensiones

7.10 Dimensions

7.10 Dimensions

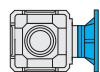
		LA... - LC... - LF...				
		19	24	28	38	48
A	i = 1	112	142	180	224	280
		80	100	130	160	190
		128	146	175	204	230
		110	125	145	175	200
		130	150	180	210	240
		19	24	28	38	48
		M8	M8	M8	M10	M12
		21.5	27	31	41	51.5
		6	8	8	10	14
		40	50	60	80	110
		7	9	11	13	15
		56	71	90	112	140
		7	9	10	13	15
		20	25	30	40	50
		22.8	28.3	33.3	43.3	53.8
		6	8	8	12	14
		30	40	50	60	80
		90	110	130	150	175

		LA					
		19	24	28	38	48	
h	i = 1	101	120	147	170	207.5	
		19	24	28	38	48	
		M8	M8	M8	M10	M12	
		21.5	27	31	41	51.5	
		6	8	8	10	14	
		101	120	147	170	227.5	
		14	19	24	28	38	
		M6	M8	M8	M8	M10	
		16	21.5	27	31	41	
		5	6	8	8	10	
		LA					
		kg	8.5	14	23	38	62
		kg	11.5	19	33	55	82
		LC... - LF...					
		kg	11.5	19	33	55	82

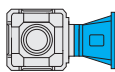


		LC...				
		19		24		
IEC		63 B5	71 B5	80/90 B5	80 B14	71 B5
Q		—	—	—	—	—
Y		140	160	200	120	160
P	i = 1	104	111	131	131	128
P	i > 1	104	111	131	131	128

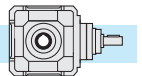
* Flange quadrat / Square flanges / Viereckige Flansche



		LC...									
		28			38				48		
IEC		80/90 B5	100/112 B5	132 B5	90 B5	100/112 B5	132 B5	160/180 B5	100/112 B5	132 B5	160/180 B5
Y		200	250	300	200	250	300	350	250	300	350
P	i = 1	171	181	203	184	194	216	246	220	240	270
P	i > 1	171	181	203	184	194	216	246	240	260	290

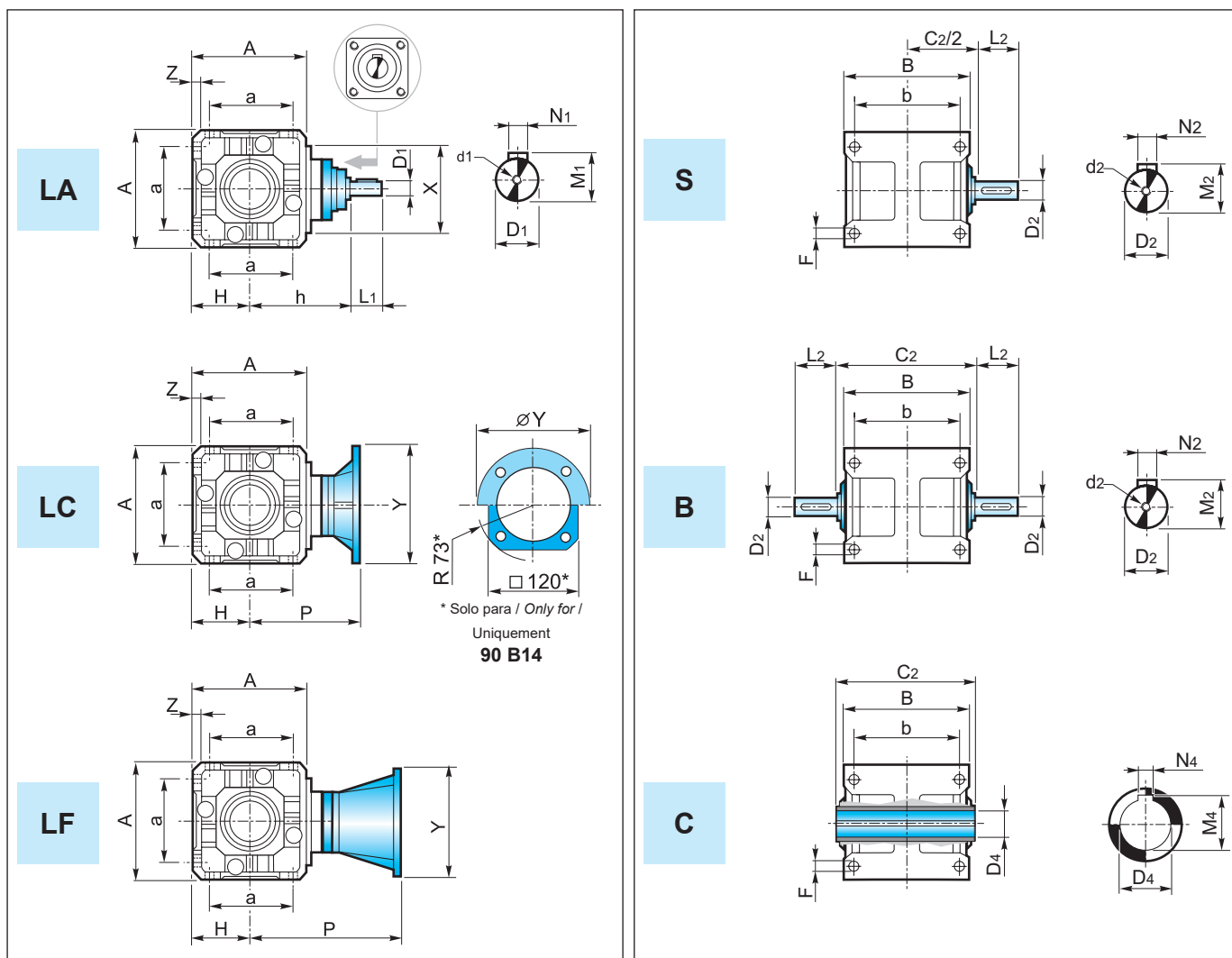


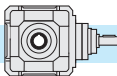
		LF...																
		19			24			28			38			48				
IEC		63 B5	71 B5	80/90 B5	71 B5	80/90 B5	100/112 B5	80/90 B5	100/112 B5	132 B5	90 B5	100/112 B5	132 B5	160/180 B5	100/112 B5	132 B5	160/180 B5	200 B5
Y		140	160	200	160	200	250	200	250	300	200	250	300	350	250	300	350	400
P	i = 1	158	165	186	194	215	225	252	262	283	285	295	316	346	354	373	405	405
P	i > 1	158	165	186	194	215	225	252	262	283	285	295	316	346	374	393	425	425



Tipo de entrada / Input type / Type d'entrée

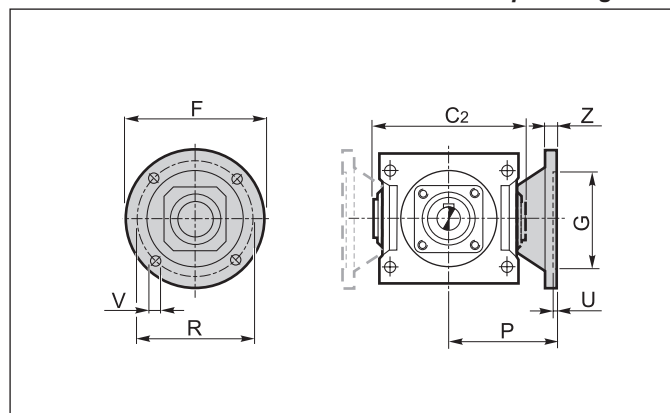
Tipo de salida / Output type / Type de sortie





7.11 Accesories

Brida de salida



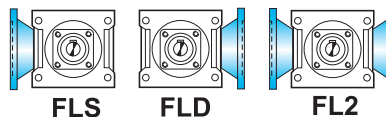
7.11 Accessories

Output flange

7.11 Accessoires

Bride de sortie

	L	19	24	28	38	48
C2	130	150	180	210	240	
F	140	160	200	250	250	
G _{F7}	95	110	130	180	180	
P	86	100	120	145	175	
R	115	130	165	215	215	
U	3.5	4	4.5	5	5	
V	9	11	13	15	15	
Z	10	12.5	16	20	20	



7.12 Lubricación

Los reenvíos angulares se proveen listos para la lubricación con aceite y con los correspondientes tapones de llenado, nivel y sin aceite.

Recomendamos indicar la posición de montaje en el pedido.

El reenvío de tamaño 19 está provisto de lubricante de por vida sin tapón respiradero.

Posiciones de montaje y cantidad de lubricante (litros)

Las cantidades de aceite indicadas en las distintas tablas, son indicativas y se refieren a las posiciones de trabajo indicadas, considerando las condiciones de funcionamiento a temperatura ambiente y velocidad de entrada de 1400 min⁻¹. Para condiciones de trabajo diversas de las arriba indicadas, contactar a nuestro servicio técnico.

7.12 Lubrication

Right angle gearboxes require oil lubrication and are equipped with filler, level and drain plugs.

The mounting position should always be specified when ordering the gearbox.

The right angle gearbox size 19 is lubricated for life and without breather plug.

Mounting positions and lubricant quantity (litres)

The oil quantities stated in the tables are approximate values and refer to the indicated working positions, considering operating conditions at ambient temperature and an input speed of 1400 min⁻¹. Should the operating conditions be different, please contact the technical service.

Les renvois d'angle sont adaptés au graissage par huile et équipés de bouchons de remplissage, vidange et jauge de niveau.

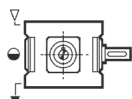
Il faudra toujours préciser la position de montage souhaitée en cours de commande.

Le renvoi d'angle taille 19 est livré avec lubrification à vie et sans bouchon d'évent

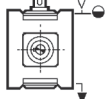
Position de montage et quantité d'huile (litres)

Les quantités d'huile indiquées dans le tableau sont indicatives et concernent les positions de montage indiquées et calculées pour fonctionnement à température ambiante et avec une vitesse à l'entrée de 1400 min⁻¹. Pour des conditions de travail différentes contacter le service technique.

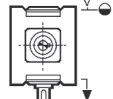
B3



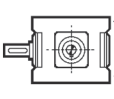
B6



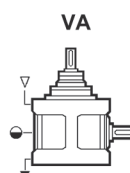
B7



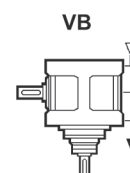
B8



VA



VB



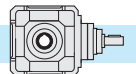
L	B3	B6	B7	B8	VA	VB
19	0.2	0.2	0.2	0.2	0.2	0.2
24	0.4	0.8	0.8	0.4	0.6	0.5
28	0.9	1.6	1.6	0.8	0.9	0.8
38	1.6	3.0	3.0	2.0	2.7	2.7
48	4.0	5.6	5.6	4.0	5.6	5.6

Posición de la caja de bornes

Terminal board position

Position de la boîte à bornes

B3	B6	B7	B8	VA	VB



7.13 Cargas radiales y axiales (N)

Las transmisiones realizadas mediante piñones de cadena, engranajes de módulo o poleas, generan fuerzas radiales (F_R) sobre el eje del reductor. Estas fuerzas pueden calcularse mediante la siguiente fórmula:

7.13 Radial and axial loads (N)

Transmissions implemented by means of chain pinions, wheels or pulleys generate radial forces (F_R) on the gear unit shafts. The entity of these forces may be calculated using the following formula:

7.13 Charges radiales et axiales (N)

Les transmissions obtenues par des pignons à chaîne, roues dentées ou poulies engendrent des forces radiales (F_R) qui agissent sur les arbres des réducteurs. L'intensité de ces efforts peut être calculée selon la formule :

$$F_R = \frac{K_R \cdot T}{d} [N]$$

donde:

- T = momento de torsión [Nm]
- d = diámetro del piñón o de la polea [mm]
- K_R = 2000 para piñones de cadena
= 2500 para engranajes de módulo
= 3000 para poleas en V

Los valores de las cargas radiales y axiales generados por la aplicación deben ser siempre menores o iguales a los valores indicados en las tablas.

where:

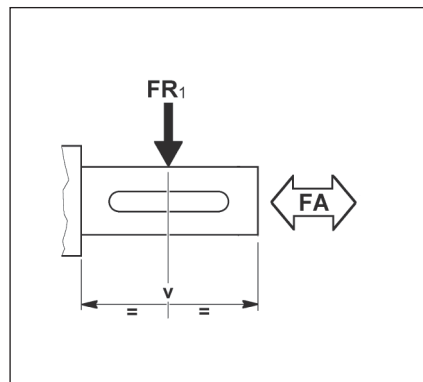
- T = torque [Nm]
- d = pinion or pulley diameter [mm]
- K_R = 2000 for chain pinion
= 2500 for wheel
= 3000 for V-belt pulley

The values of the radial and axial loads generated by the application must always be lower than or equal to the admissible values reported in the tables.

où :

- T = couple [Nm]
- d = diamètre pignon ou poulie [mm]
- K_R = 2000 pour pignon à chaîne
= 2500 pour roues dentées
= 3000 pour poulies avec courroies trapézoïdales

Les valeurs des charges radiales et axiales engendrées par l'application, doivent être toujours inférieures ou égales à celles admissibles indiquées aux tableaux.



i_n	L									
	EJE DE ENTRADA / INPUT SHAFT / ARBRE D'ENTREE ($n_1 = 1400 \text{ min}^{-1}$)									
	Fr_1	Fa_1	Fr_1	Fa_1	Fr_1	Fa_1	Fr_1	Fa_1	Fr_1	
Tutti All Alle	400	80	630	125	1000	200	1600	320	2500	500
EJE DE SALIDA / OUTPUT SHAFT / ARBRE DE SORTIE ($n_1 = 1400 \text{ min}^{-1}$)										
	Fr_2	Fa_2	Fr_2	Fa_2	Fr_2	Fa_2	Fr_2	Fa_2	Fr_2	
1	800	160	1250	250	2000	400	3150	630	5000	1000
2 - 3	1000	160	1600	320	2500	500	4000	800	5000	1000

Las cargas radiales indicadas en la tabla, se su ponen aplicándolas en la mitad del eje y se refiere a un reductor que opera con factor de servicio igual a 1.

The radial loads reported in the table are considered to be applied at the half-way point of the shaft projection and refer to gear units operating with service factor 1.

Les charges radiales indiquées aux tableaux s'entendent appliquées à mi-bout d'arbre et se réfèrent à des réducteurs en exercice avec facteur de service 1.

En el caso de ejes de salida doble, el valor de la carga aplicable en alguna extremidad es igual a 2/3 del valor de la tabla, con tal que las cargas aplicadas sean igual de intensidad, dirección y reaccionen en el mismo sentido. Caso contrario contactarse con el servicio técnico.

With regard to double-projecting shafts, the load applicable at each end is 2/3 of the value given in the table, on condition that the applied loads feature same intensity and direction and that they act in the same direction. Otherwise please contact the technical department.

En ce qui concerne les doubles arbres de sortie, la charge applicable à chaque bout est de 2/3 de la valeur donnée dans le tableau, à condition que les forces appliquées soient identique de chaque côté de l'arbre. En cas contraire veuillez contacter le service technique.